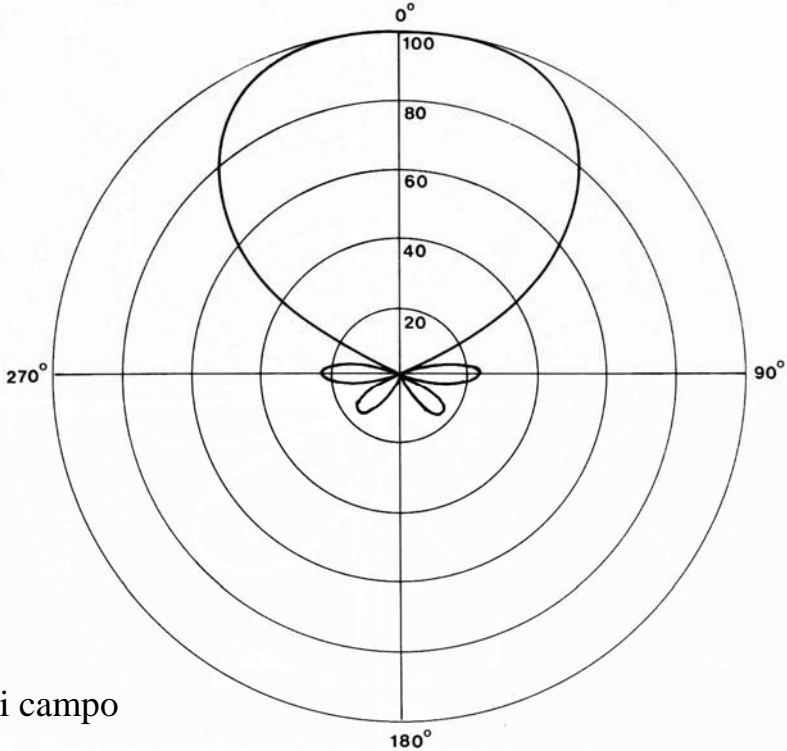
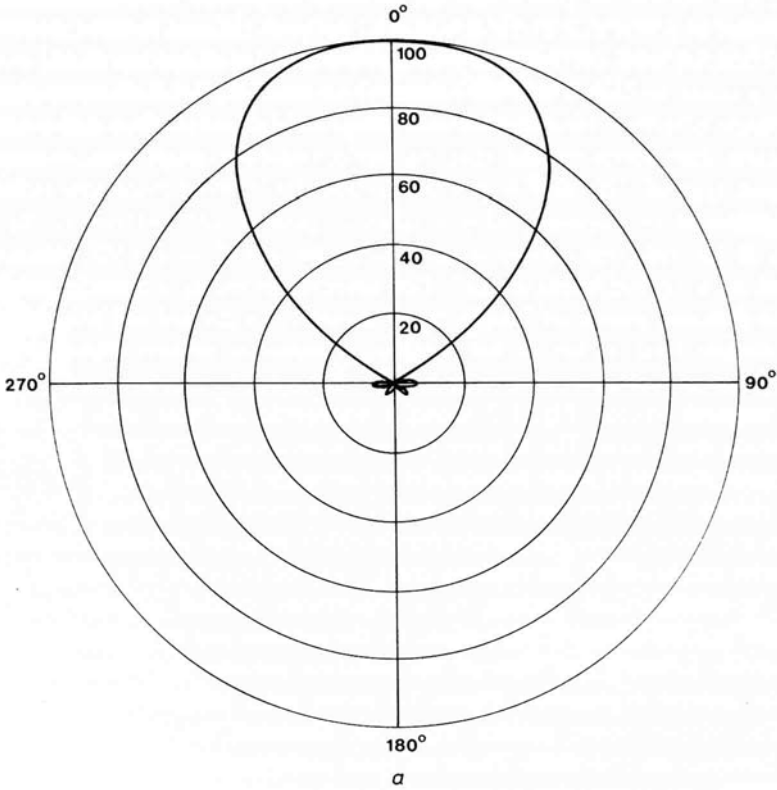


diagrammi di radiazione polari



intensità di campo



potenza

diagramma di radiazione polare (dB)

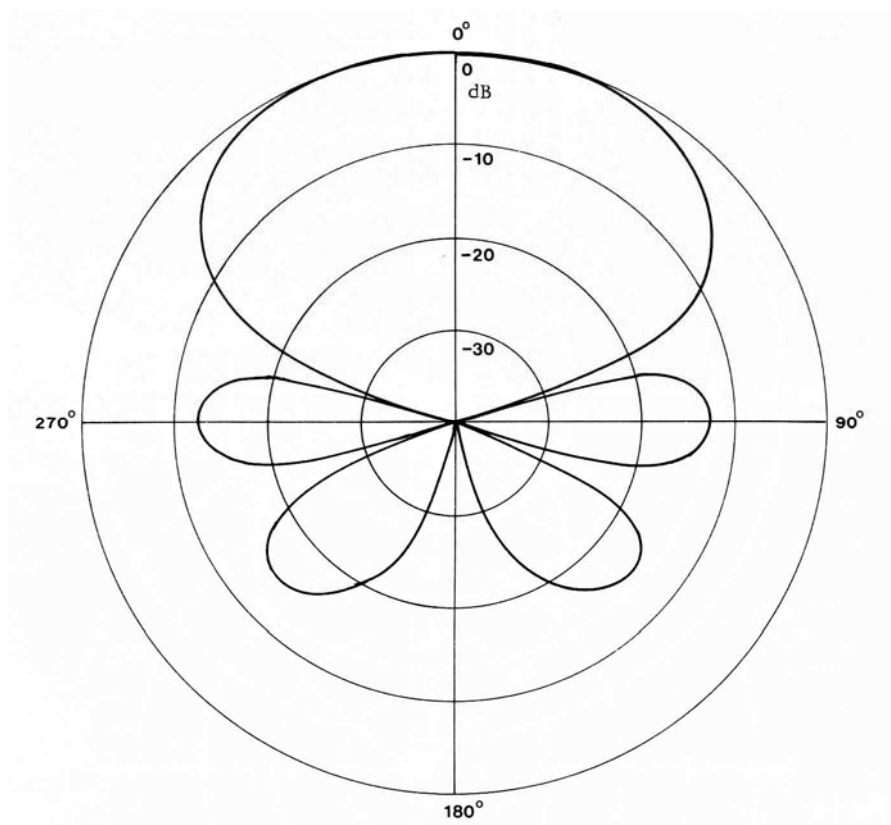


diagramma di radiazione cartesiano

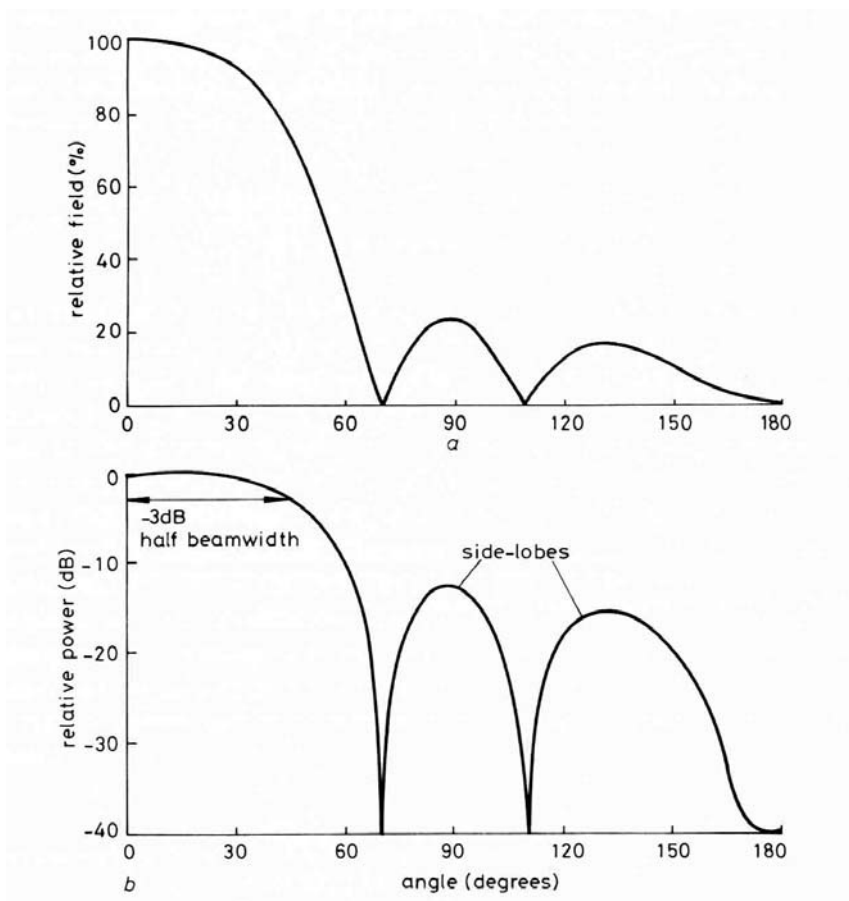


diagramma di radiazione 3D

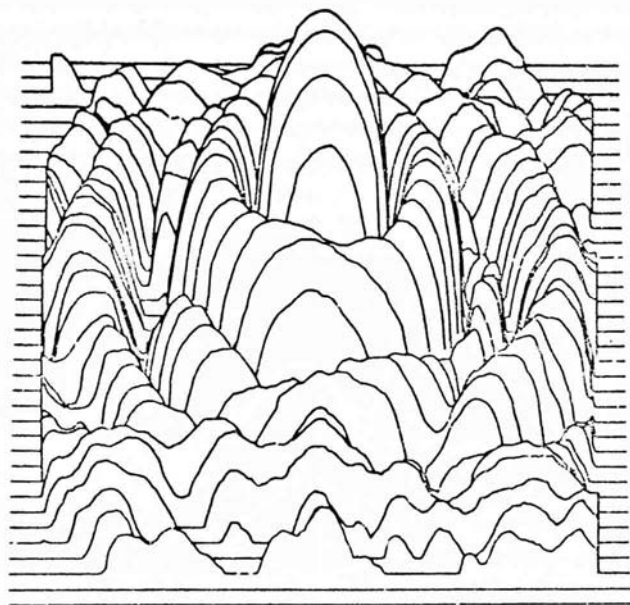


diagramma di radiazione curve di livello (dB)

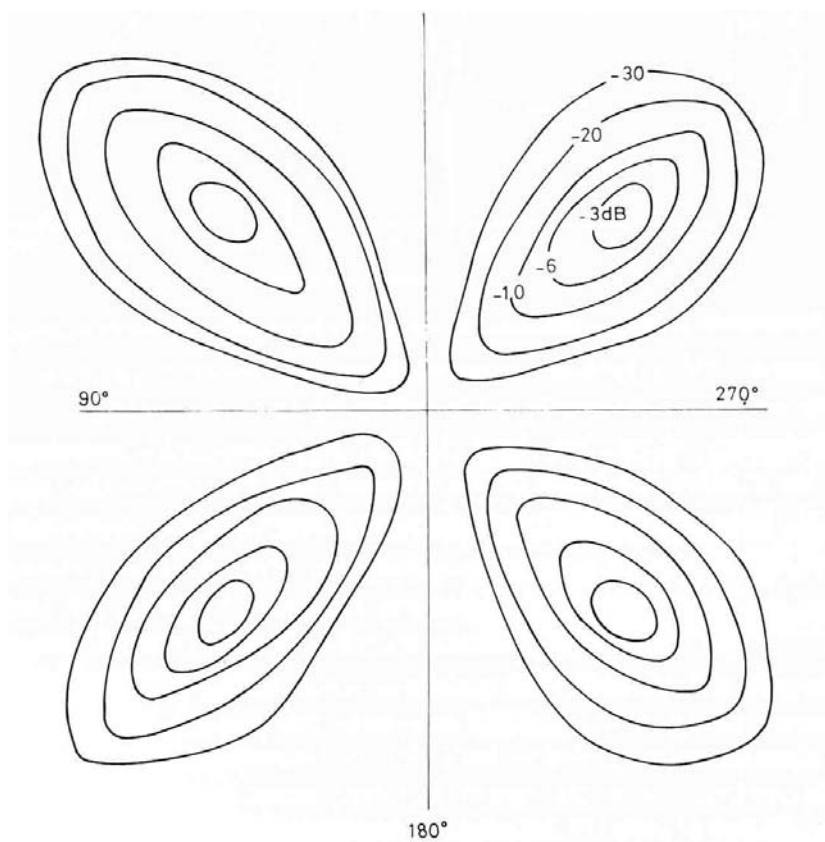
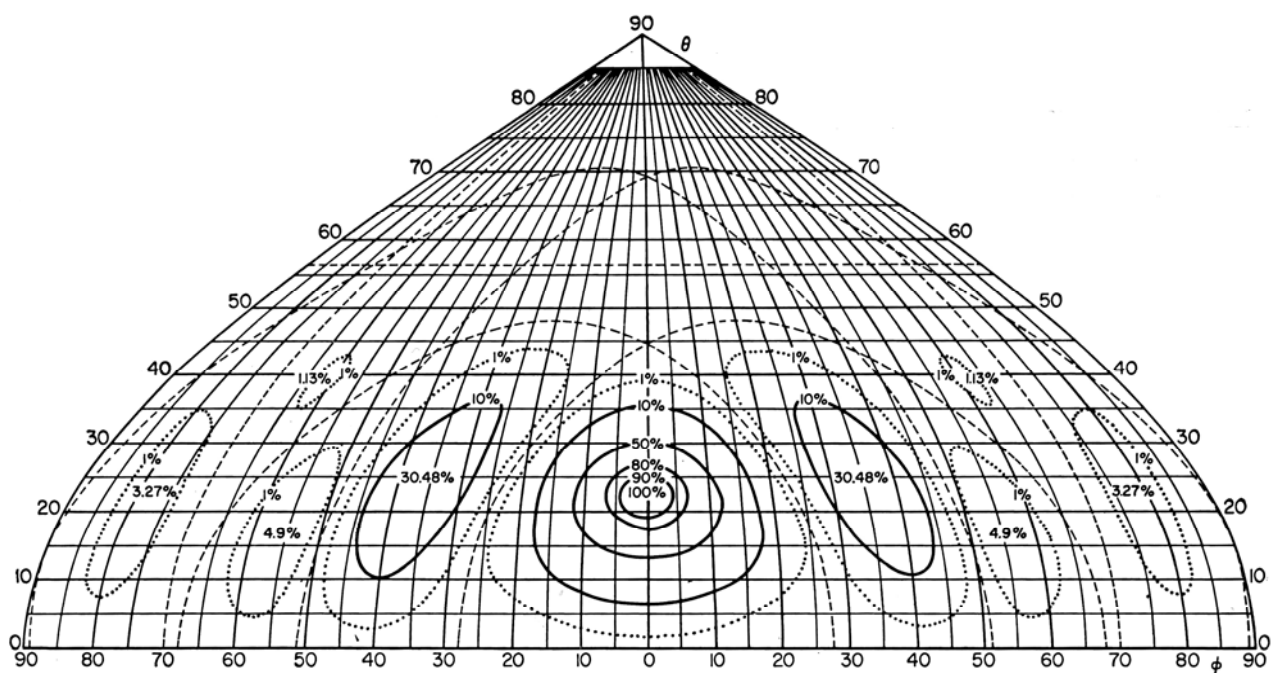


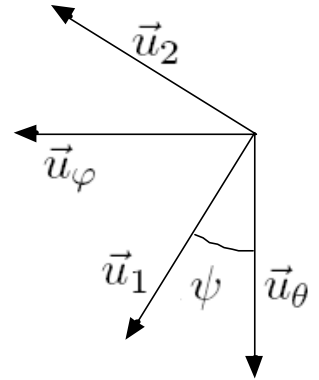
diagramma di radiazione curve di livello della potenza relativa



Parametri di Stokes

$$\vec{E} = E_{\theta} \vec{u}_{\theta} + E_{\varphi} \vec{u}_{\varphi} = E_{\theta}(\vec{u}_{\theta} + \tau e^{j\beta} \vec{u}_{\varphi})$$

$$\hat{p} = \frac{\vec{E}}{|\vec{E}|} = \frac{\vec{u}_{\theta} + \tau e^{j\beta} \vec{u}_{\varphi}}{\sqrt{1 + \tau^2}}$$



si ruota il sistema di riferimento per cercare il riferimento in cui le componenti del campo sono in quadratura

$$\vec{u}_{\theta} = \vec{u}_1 \cos \psi - \vec{u}_2 \sin \psi$$

$$\vec{u}_{\varphi} = \vec{u}_1 \sin \psi + \vec{u}_2 \cos \psi$$

$$\begin{aligned} \operatorname{Re}((\hat{p} \cdot \vec{u}_1)(\hat{p} \cdot \vec{u}_2)^*) &= 0 & \Rightarrow \tan 2\psi &= \frac{2\tau}{1 - \tau^2} \cos \beta \\ \tan \chi &= -j \frac{\hat{p} \cdot \vec{u}_1}{\hat{p} \cdot \vec{u}_2} & \Rightarrow \sin 2\chi &= \frac{2\tau}{1 + \tau^2} \sin \beta \end{aligned}$$

definizione nel caso di onda monocromatica

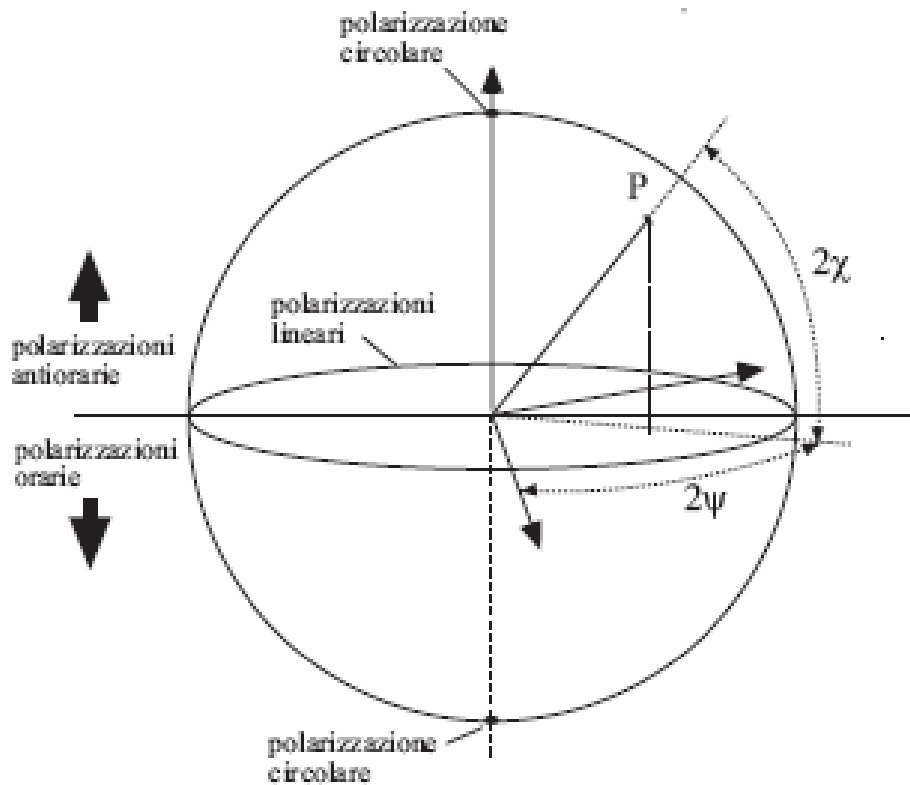
$$s_0 = |E_{\theta}|^2 + |E_{\varphi}|^2 = |E_{\theta}|^2(1 + \tau^2)$$

$$s_1 = |E_{\theta}|^2 - |E_{\varphi}|^2 = |E_{\theta}|^2(1 - \tau^2) = s_0 \cos 2\chi \cos 2\psi$$

$$s_2 = 2 \operatorname{Re}(E_{\theta}^* E_{\varphi}) = 2\tau |E_{\theta}|^2 \cos \beta = s_0 \cos 2\chi \sin 2\psi$$

$$s_3 = 2 \operatorname{Im}(E_{\theta}^* E_{\varphi}) = 2\tau |E_{\theta}|^2 \sin \beta = s_0 \sin 2\chi$$

rappresentazione delle polarizzazioni: sfera di Poincarè



Il punto P sulla superficie sferica di raggio s_0 rappresenta uno stato di polarizzazione

s_1 s_2 s_3 sono le sue coordinate cartesiane

2ψ 2χ sono le sue coordinate di azimuth ed elevazione

i punti polari rappresentano le due polarizzazioni circolari

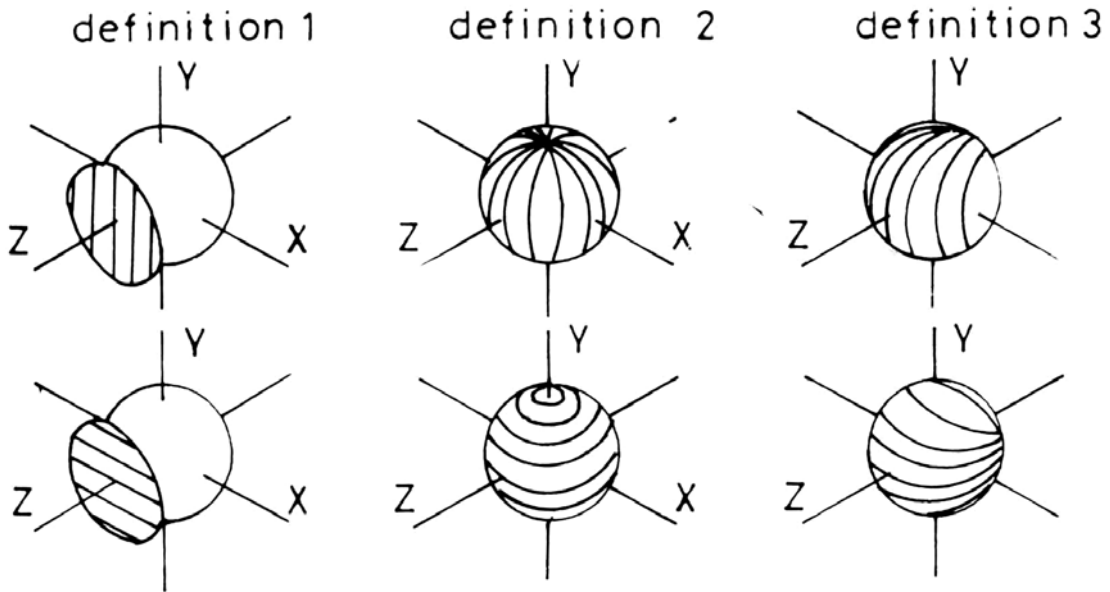
i punti sull'equatore tutte le possibili polarizzazioni lineari

i punti nel semispazio superiore polarizzazioni antiorarie

i punti nel semispazio inferiore polarizzazioni orarie

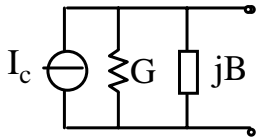
Parametri di Stokes	Matrice di coerenza
$s_0 = \langle E_\theta ^2 + E_\varphi ^2 \rangle$ $s_1 = \langle E_\theta ^2 - E_\varphi ^2 \rangle$ $s_2 = 2 \langle \text{Re}(E_\theta^* E_\varphi) \rangle$ $s_3 = 2 \langle \text{Im}(E_\theta^* E_\varphi) \rangle$	$\mathbf{J} = \begin{bmatrix} \langle E_\theta E_\theta^* \rangle & \langle E_\theta E_\varphi^* \rangle \\ \langle E_\varphi E_\theta^* \rangle & \langle E_\varphi E_\varphi^* \rangle \end{bmatrix}$
$s_0 = J_{11} + J_{22} = \text{Tr}(\mathbf{J})$ $s_1 = J_{11} - J_{22}$ $s_2 = J_{12} + J_{21}$ $s_3 = j(J_{12} - J_{21})$	$J_{11} = \frac{1}{2} (s_0 + s_1)$ $J_{12} = \frac{1}{2} (s_2 - j s_3)$ $J_{21} = \frac{1}{2} (s_2 + j s_3)$ $J_{22} = \frac{1}{2} (s_0 - s_1)$
densità di potenza trasportata	
$W = s_0/(2\eta)$	$W = \text{Tr}(\mathbf{J})/(2\eta)$
onda completamente polarizzata	
$s_0^2 = s_1^2 + s_2^2 + s_3^2$	$\text{Det}(\mathbf{J}) = 0$
onda completamente non polarizzata	
$s_0 = 2\eta W$ $s_1 = s_2 = s_3 = 0$	$\mathbf{J} = \eta W \begin{bmatrix} 1 & 0 \\ 0 & 1 \end{bmatrix}$
onda polarizzata linearmente	
$s_3 = 0$	$\text{Im}(\mathbf{J}) = 0$
grado di polarizzazione	
$m = \sqrt{\frac{s_1^2 + s_2^2 + s_3^2}{s_0^2}}$	$m = \sqrt{1 - \frac{4 \text{Det}(\mathbf{J})}{\text{Tr}^2(\mathbf{J})}}$
perdita per polarizzazione	
$\frac{s_0^{(a)} s_0^{(inc)} + s_1^{(a)} s_1^{(inc)} + s_2^{(a)} s_2^{(inc)} + s_3^{(a)} s_3^{(inc)}}{2 s_0^{(a)} s_0^{(inc)}}$	$\frac{\text{Tr}(\mathbf{J}^{(a)} \tilde{\mathbf{J}}^{(inc)})}{\text{Tr}(\mathbf{J}^{(a)}) \text{Tr}(\mathbf{J}^{(inc)})}$

Polarizzazione e polarizzazione incrociata

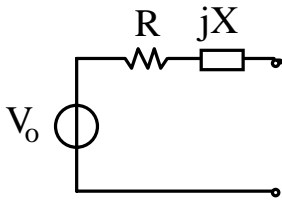


- 1 orizzontale - verticale
- 2 meridiani - paralleli
- 3 sorgente di Huygens - sorgente di Huygens ruotata di 90°

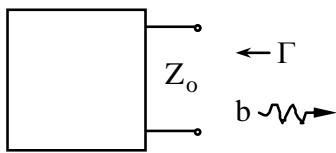
Generatore equivalente di un'antenna ricevente



$$I_c = -j\sqrt{4G/\eta} \sqrt{A_{eff}(\Omega)} e^{j\psi(\Omega)} \mathbf{p}(\Omega) \cdot \mathbf{E}_{inc}(\Omega)$$



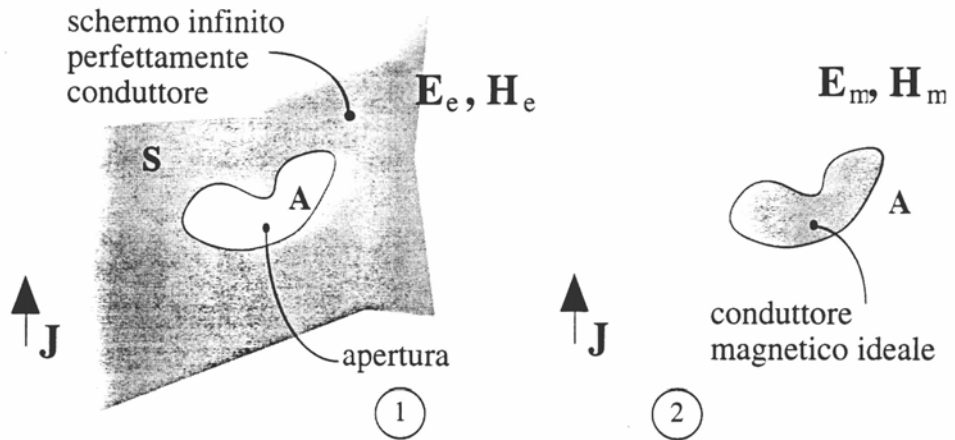
$$V_o = -j\sqrt{4R/\eta} \sqrt{A_{eff}(\Omega)} e^{j\psi'(\Omega)} \mathbf{p}(\Omega) \cdot \mathbf{E}_{inc}(\Omega)$$



$$b = -j\sqrt{(1-|\Gamma|^2)/\eta} \sqrt{A_{eff}(\Omega)} e^{j\psi''(\Omega)} \mathbf{p}(\Omega) \cdot \mathbf{E}_{inc}(\Omega)$$

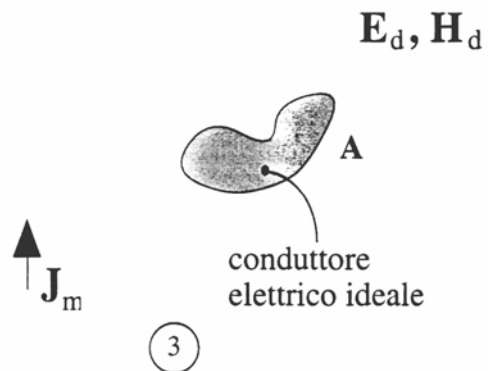
le fasi $\psi(\Omega)$, $\psi'(\Omega)$, $\psi''(\Omega)$ rappresentano, a meno del termine $-jkr$ e dell'eventuale fase associata a $\mathbf{p}(\Omega)$, la fase del campo irraggiato dall'antenna, riferita rispettivamente alla fase della tensione, alla fase della corrente e alla fase dell'onda incidente sulla porta d'ingresso dell'antenna, e sono uguali tra loro solo nel caso in cui l'antenna è adattata.

Principio di Babinet

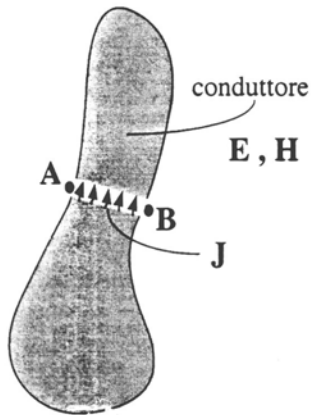


$$\begin{cases} E_e + E_m = E_i \\ H_e + H_m = H_i \end{cases}$$

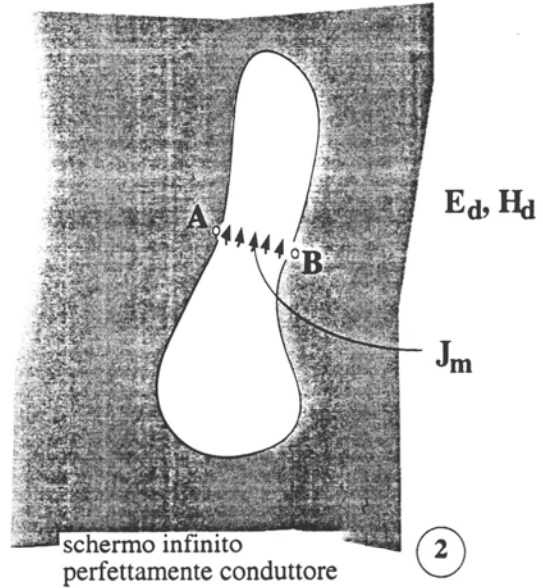
$$\begin{cases} E_e + \eta H_d = E_i \\ H_e - E_d/\eta = H_i \end{cases}$$



Impedenza d'ingresso di strutture complementari



1



2

$$1) \quad Z = \frac{2 P_{\text{ing}}}{|I|^2} \quad I = 2 \int_A^B \mathbf{H} \cdot d\mathbf{l}$$

$$2) \quad Y = \frac{2 P_{\text{ing}}}{|V|^2} \quad V = \int_A^B \mathbf{E}_d \cdot d\mathbf{l}$$

$$\frac{Z}{Y} = \frac{\eta^2}{4}$$